

# Modelowanie Komputerowe

## Electrostatic Potentials

Gabriela Białoskórska, Mikołaj Knysak, Ignacy Tekieli  
Fizyka Techniczna

Grudzień 2020

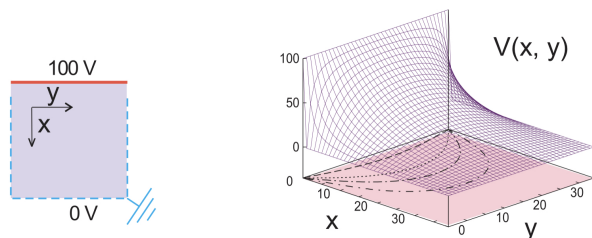
### Spis treści

<b>1</b>	<b>Wprowadzenie</b>	<b>2</b>
1.1	Cel Pracy . . . . .	2
1.2	Wstęp teoretyczny . . . . .	2
1.2.1	Potencjał elektryczny . . . . .	2
1.2.2	Równanie Laplace'a . . . . .	3
<b>2</b>	<b>Materiały i metody</b>	<b>4</b>
2.1	Wiadomości wstępne . . . . .	4
2.2	Lattice PDE Implementation . . . . .	4
2.3	Tworzenie projektu . . . . .	5
<b>3</b>	<b>Wyniki</b>	<b>7</b>
<b>4</b>	<b>Podsumowanie</b>	<b>9</b>
4.1	Optymalizacja . . . . .	9
<b>5</b>	<b>Bibliografia</b>	<b>11</b>

# 1 Wprowadzenie

## 1.1 Cel Pracy

Celem niniejszego projektu było odnalezienie potencjału elektrostatycznego dla wszystkich punktów, znajdujących się wewnątrz nienaładowanego kwadratu, przedstawionego na poniższej ilustracji.



Rysunek 1: Po lewej: zaciemniony obszar przestrzeni w kwadracie, w którym określamy potencjał elektryczny rozwiązując równanie Laplace'a. Na górze znajduje się przewód o stałym napięciu 100V i przewód uziemiający (przerwany) po bokach i na dole. Po prawej: obliczony potencjał elektryczny jako funkcja  $x$  i  $y$ . Rzuty na zaciemnioną płaszczyznę  $xy$  są liniami ekwipotencjalnymi (konturowymi).

Dno i boki tego regionu składają się z przewodów, które są „uziemiene”. Górny przewód jest podłączony do akumulatora, utrzymującego go na stałym poziomie 100V.

## 1.2 Wstęp teoretyczny

### 1.2.1 Potencjał elektryczny

Energia potencjalna ładunku w polu elektrycznym zależy od wielkości tego ładunku, wobec tego do opisu pola elektrycznego lepiej posługiwać się energią potencjalną przypadającą na jednostkowy ładunek czyli potencjałem elektrycznym. **Potencjał elektryczny definiujemy jako energię potencjalną pola elektrycznego podzieloną przez jednostkowy ładunek.**

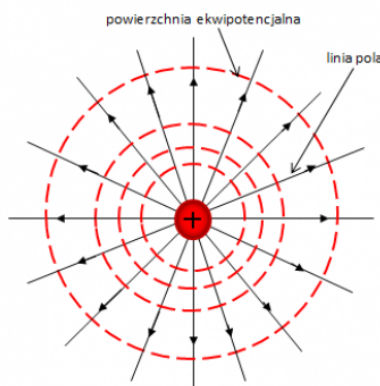
$$V(r) = \frac{E_p(r)}{q} = \frac{W_{\infty r}}{q}$$

W układzie SI jednostką potencjału elektrycznego jest wolt (V);  $1V = 1J/C$ . **Potencjał pola ładunku punktowego  $Q$  wynosi:**

$$V(r) = k \frac{Q}{r}$$

Obliczony potencjał określa pracę potrzebną do przeniesienia jednostkowego ładunku z nieskończoności na odległość  $r$  od ładunku  $Q$ . Potencjał charakteryzuje pole elektryczne, jednak nie zależy od umieszczonego w nim ładunku.

Jednym ze sposobów graficznego przedstawienia pola elektrycznego jest wyrysowanie linii pola. Są to linie w każdym punkcie styczne do kierunku pola. Po nich poruszałyby się nie zakłócający pola dodatni ładunek próbny.



Rysunek 2: Przykład: Powierzchnie ekwipotencjalne dla pola centralnego

Należy podkreślić, że liczba linii natężenia pola elektrycznego przypadających na jednostkę powierzchni informuje nas o wielkości natężenia pola elektrycznego.

### 1.2.2 Równanie Laplace'a

Traktujemy cały kwadrat na Rysunku 1. jako granicę z określonymi napięciami. Jeśli wyobrazimy sobie nieskończenie małe izolatory umieszczone w górnych rogach "pudełka", wówczas uzyskamy zamkniętą granicę, w ramach której rozwiążemy nasz problem. Ponieważ wartości potencjału są podane ze wszystkich stron, na granicy mamy warunki Neumanna i, zgodnie z poniższą tabelą, unikalne i stabilne rozwiązanie:

Boundary Condition	Elliptic (Poisson Equation)	Hyperbolic (Wave Equation)	Parabolic (Heat Equation)
Dirichlet open surface	Underspecified	Underspecified	Unique & stable (1-D)
Dirichlet closed surface	Unique & stable	Overspecified	Overspecified
Neumann open surface	Underspecified	Underspecified	Unique & Stable (1-D)
Neumann closed surface	Unique & stable	Overspecified	Overspecified
Cauchy open surface	Nonphysical	Unique & stable	Overspecified
Cauchy closed surface	Overspecified	Overspecified	Overspecified

Rysunek 3: Relacja między warunkami brzegowymi a niepowtarzalnością dla równań różniczkowych cząstkowych (RRC)

Z klasycznej elektrodynamiki wiadomo, że potencjał elektryczny  $U(x)$  powstający z ładunków statycznych spełnia RRC Poissona:

$$\nabla^2 U(x) = -4\pi\rho(x)$$

gdzie  $\rho(x)$  jest gęstością ładunku. W wolnych od ładunków obszarach przestrzeni, to znaczy w regionach, w których  $\rho(x) = 0$ , potencjał spełnia równanie Laplace'a:

$$\nabla^2 U(x) = 0$$

Oba te równania są eliptycznymi RRC o postaci mającej wiele zastosowań. Rozwiązujemy je we współrzędnych prostokątnych 2D:

$$\frac{\partial^2 U(x, y)}{\partial x^2} + \frac{\partial^2 U(x, y)}{\partial y^2} = \begin{cases} 0, & \text{Laplace's equation,} \\ -4\pi\rho(\mathbf{x}), & \text{Poisson's equation.} \end{cases}$$

W obu przypadkach widzimy, że potencjał zależy jednocześnie od  $x$  i  $y$ . W przypadku równania Laplace'a ładunki, które są źródłem pola, wchodzą pośrednio, określając potencjalne wartości w pewnym obszarze przestrzeni; w przypadku równania Poissona wchodzą bezpośrednio.

## 2 Materiały i metody

### 2.1 Wiadomości wstępne

### 2.2 Lattice PDE Implementation

Najbardziej ogólna forma RRC (*ang. PDE*) dla dwóch niezależnych zmiennych wygląda następująco:

$$A \frac{\partial^2 U}{\partial x^2} + 2B \frac{\partial^2 U}{\partial x \partial y} + C \frac{\partial^2 U}{\partial y^2} + D \frac{\partial U}{\partial x} + E \frac{\partial U}{\partial y} = F$$

gdzie  $A$ ,  $B$ ,  $C$  i  $F$  są funkcjami zmiennych  $x$  i  $y$ .

Rozwiązuje ona problem kwadratu z Rysunku 1. (lewa strona).

Napiszmy teraz kod ustalając, że długość pudełka  $L = N_{max}\Delta = 100$ , dla  $\Delta = 1$ :

$$\begin{aligned} U(i, N_{max}) &= 99 & \text{(top),} & & U(1, j) &= 0 & \text{(left),} \\ U(N_{max}, j) &= 0 & \text{(right),} & & U(i, 1) &= 0 & \text{(bottom),} \end{aligned}$$

```

# LaplaceLine.py: Solve Laplace's eqtn, 3D matplot, close shell to quit

from numpy import *
import matplotlib.pyplot as p;
from mpl_toolkits.mplot3d import Axes3D

print("Initializing")
Nmax = 100; Niter = 70; V = zeros((Nmax, Nmax), float)           # float maybe Float

print("Working hard, wait for the figure while I count to 60")
for k in range(0, Nmax-1): V[k,0] = 100.0                       # line at 100V

for iter in range(Niter):                                       # iterations over algorithm
    if iter%10 == 0: print( iter)
    for i in range(1, Nmax-2):
        for j in range(1, Nmax-2): V[i,j] = 0.25*(V[i+1,j]+V[i-1,j]+V[i,j+1]+V[i,j-1])
x = range(0, Nmax-1, 2); y = range(0, 50, 2)                   # plot every other point
X, Y = p.meshgrid(x,y)

def functz(V):                                                  # Function returns V(x, y)
    z = V[X,Y]
    return z

Z = functz(V)
fig = p.figure()                                               # Create figure
ax = Axes3D(fig)                                               # plot axes
ax.plot_wireframe(X, Y, Z, color = 'r')                        # red wireframe
ax.set_xlabel('X')                                             # label axes
ax.set_ylabel('Y')
ax.set_zlabel('Potential')
p.show()                                                         # display fig, close shell to quit

```

Rysunek 4: Powyższy screen przedstawia sugerowane rozwiązanie, które pochodzi z pdf-a załączonego do zajęć.

## 2.3 Tworzenie projektu

Nasz projekt zawiera w sobie pewne istotne różnice, w porównaniu do przedstawionego powyżej przykładu, które omówimy bazując na poszczególnych fragmentach i wierszach. Najpierw jednak załączamy poglądowo screena całości kodu:

```

1 import numpy
2 import matplotlib.pyplot as p
3 from mpl_toolkits.mplot3d import Axes3D
4 import os
5 import sys
6
7 # Global variables
8 NMAX = int(sys.argv[1])
9 NITER = int(sys.argv[2])
10 V = os.environ.get("V", numpy.zeros((NMAX, NMAX), float))
11
12
13 def computing():
14     print("Initializing...")
15
16     for k in range(0, NMAX - 1): V[k, 0] = 100
17
18     for iter in range(NITER):
19         if iter % 10 == 0:
20             print(iter)
21             for i in range(1, NMAX - 2):
22                 for j in range(1, NMAX - 2): V[i, j] = 0.25 * (V[i + 1, j] + V[i - 1, j] + V[i, j + 1] + V[i, j - 1])
23
24     x = range(0, NMAX - 1, 2)
25     y = range(0, 50, 2)
26     X, Y = p.meshgrid(x, y)
27     return X, Y
28
29 def functz(X, Y):
30     z = V[X, Y]
31     return z
32
33
34 def main():
35     X, Y = computing()
36     Z = functz(X, Y)
37     fig = p.figure()
38     ax = Axes3D(fig)
39     ax.plot_wireframe(X, Y, Z, color='r')
40     ax.set_xlabel('X')
41     ax.set_xlabel('Y')
42     ax.set_xlabel('Potential')
43     p.show()
44
45
46 if __name__ == "__main__":
47     main()

```

Rysunek 5: Całość kodu

Na początku kodu importujemy konieczne biblioteki. Bibliotekę `matplotlib.pyplot` oznaczamy jako `p`, natomiast z biblioteki `mpl_toolkits.mplot3d` importujemy wyłącznie funkcję `Axes3D`.

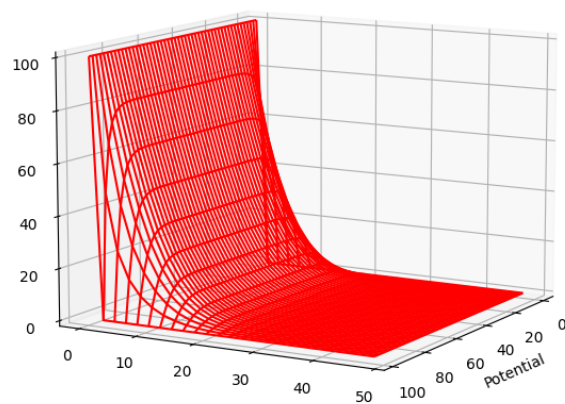
Następnie definiujemy zmienne globalne (zgodnie z komentarzem, który zamieściliśmy powyżej): `NMAX`, `NITER` (liczba iteracji pętli funkcji `computing`) oraz `V`. Zaznaczamy także, że w momencie wykonywania obliczeń wyświetla się słowo "Initializing".

Funkcja `computing` wylicza zmienne  $x$  oraz  $y$  z równania Laplace'a, opisanego we wstępie. Następnie funkcja `functz` oblicza wartość zmiennej  $z$  na podstawie wyliczonych wcześniej  $x$  i  $y$  (tak, aby wykres wyświetlał się w trzech wymiarach). Funkcja `main` rysuje wykres na podstawie pozostałych, opisanych funkcji.

Warto zaznaczyć, że nasz kod umożliwia użytkownikowi samodzielne ustalenie danych wejściowych (tj. `NMAX` oraz `NITER`). Opcja ta jest dostępna dzięki dwóm dodatkowym bibliotekom - `sys` i `os`. W kolejnej sekcji przedstawiamy w jaki sposób przebiega rysowanie funkcji.

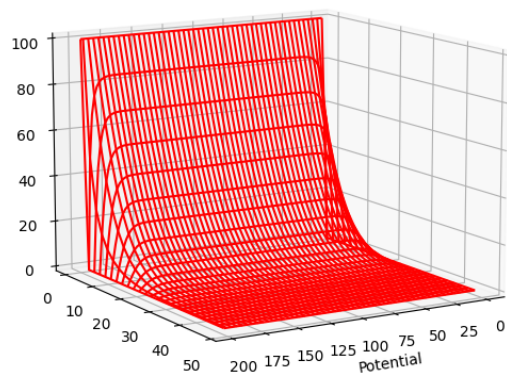
### 3 Wyniki

Rozpocznijmy od wizualizacji potencjału dla danych domyślnych. Wykres wygląda następująco:



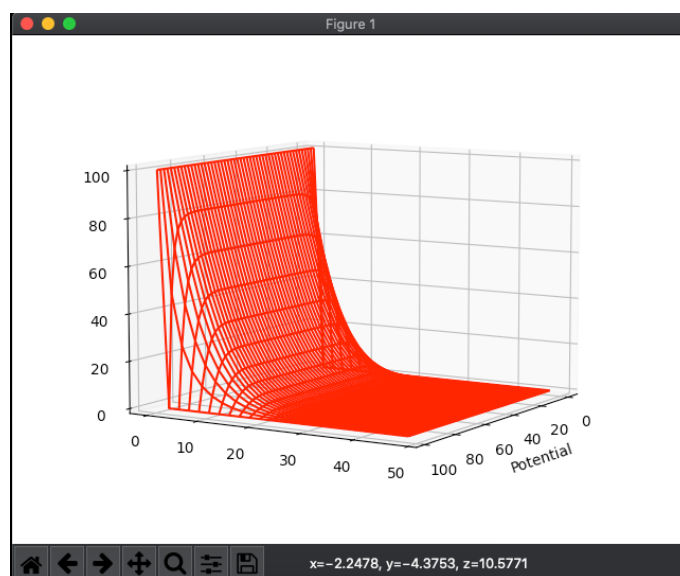
Rysunek 6: Wizualizacja dla danych domyślnych

Dla danych ustalonych przez użytkownika wpisujemy w terminalu `python3 custom-potential.py 200 100`, gdzie 200 i 100 to przykładowe, ustalone przez nas dane:



Rysunek 7: Wizualizacja dla ustalonych przez użytkownika danych

Całościowo output wygląda następująco:





Wpisywanie komendy w terminalu:

```
→ Potential python3 custome_potential.py 200 1
Initializing...
0
10
20
30
40
50
60
70
80
90
```

## 4 Podsumowanie

Zadanie zostało wykonane prawidłowo, przy jednoczesnym wprowadzeniu drobnych zmian. W naszym kodzie dajemy użytkownikowi możliwość wyboru danych wejściowych, jednak kod wciąż działa prawidłowo i na tej samej zasadzie co załączony przykład. Pozostałe zmiany obejmują technikę programowania. W naszym kodzie wywołujemy tylko konieczne funkcje z danej biblioteki, nie stosujemy \*. Ponadto wprowadziliśmy dla wygody pracy zmienne globalne.

### 4.1 Optymalizacja

Dodatkową zmianą, wprowadzaną już po powstaniu powyższego raportu, była zwiększona optymalizacja kodu. Załączamy zmodyfikowany kod poniżej, dla osób zainteresowanych.

```
import argparse
import numpy
import matplotlib.pyplot as plt
from mpl_toolkits.mplot3d import Axes3D
import os

def func_z(X, Y):
    return V[X, Y]

def compute():
    print("Initializing ...")
```

```

for k in range(0, NMAX - 1):
    V[k, 0] = 100

for i in range(N.I):
    if i % 10 == 0:
        print(i)
    for y in range(1, NMAX - 2):
        for x in range(1, NMAX - 2):
            V[y, x] = 0.25 * (V[y + 1, x] + V[y - 1, x]
                + V[y, x + 1] + V[y, x - 1])
x = range(0, NMAX - 1, 2)
y = range(0, 50, 2)
X, Y = plt.meshgrid(x, y)
return X, Y

def main():
    X, Y = compute()
    Z = func_z(X, Y)

    fig = plt.figure()
    ax = Axes3D(fig)
    ax.plot_wireframe(X, Y, Z, color='r')
    ax.set_xlabel('X')
    ax.set_ylabel('Y')
    ax.set_zlabel('Potential')
    plt.show()

if __name__ == "__main__":
    parser = argparse.ArgumentParser()
    parser.add_argument('--n_max', type=int, required=False, default=100)
    parser.add_argument('--n_i', type=int, required=False, default=70)
    args = parser.parse_args()

    NMAX, N.I = args.n_max, args.n_i
    V = os.environ.get("V", numpy.zeros((NMAX, NMAX), float))

    main()

```

Jest on jeszcze bardziej przyjazny użytkownikowi dzięki zastosowaniu biblioteki `argparse`. Działa szybciej, a zmienne które użytkownik wprowadza samodzielnie mogą być wpisane w dowolnej kolejności. W poprzedniej wersji musiała zostać ona zachowana (najpierw `NMAX`, następnie `NITER`). Jeśli dowolnie wybrane zmienne nie zostaną podane - program skompiluje się dla zmiennych domyślnych, podanych w zadaniu.

## 5 Bibliografia

Kod oraz rozdział 1.2.2 powstały na podstawie prezentowanego na zajęciach pliku pdf.